

# 2つの剛体円形スピーカアレイ を用いた仮想音源生成

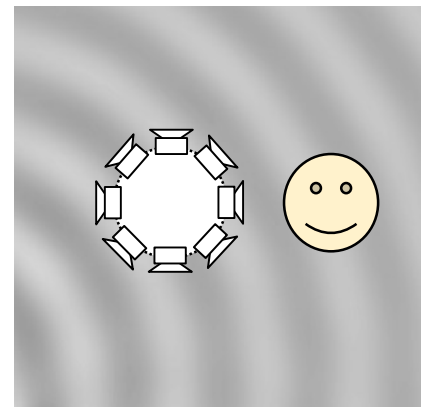
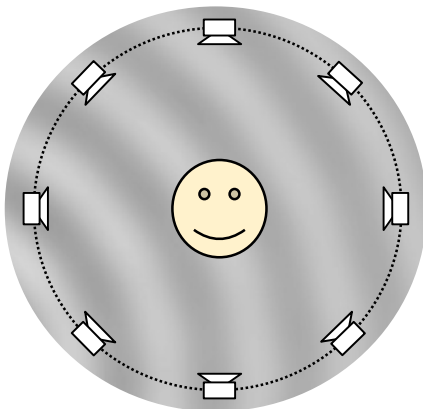
☆任 逸, 羽田 陽一

2018/09/12

電気通信大学大学院 情報理工学研究科  
情報学専攻 羽田研究室

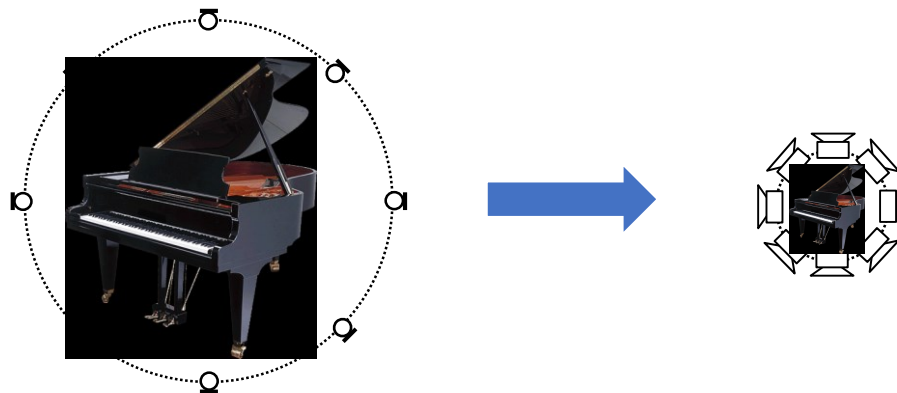
# はじめに

- 円形スピーカアレイでの音場再現
  - 内側音場再現
    - 受聴者の位置は制限されている
    - 実環境でのスピーカ配置と室内残響は課題である
  - 外側音場再現
    - 受聴範囲は広くなる
    - 部屋の残響を加えることで、楽器の響はより自然になる

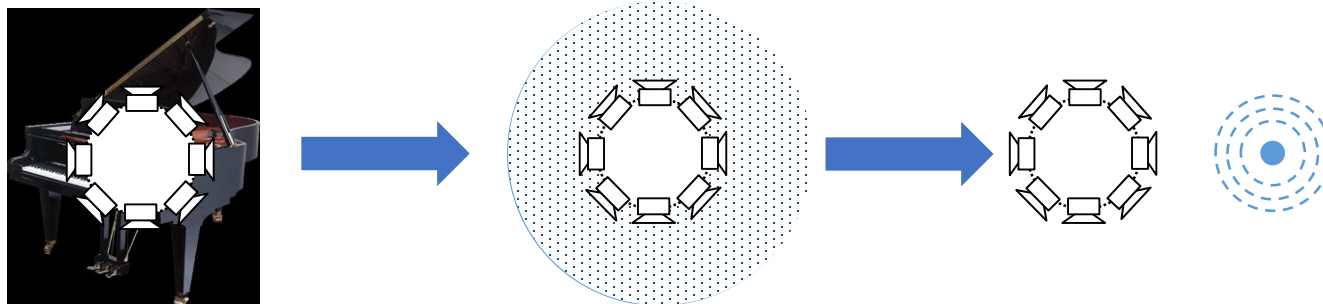


# はじめに

- 音源の大きさは制限されている



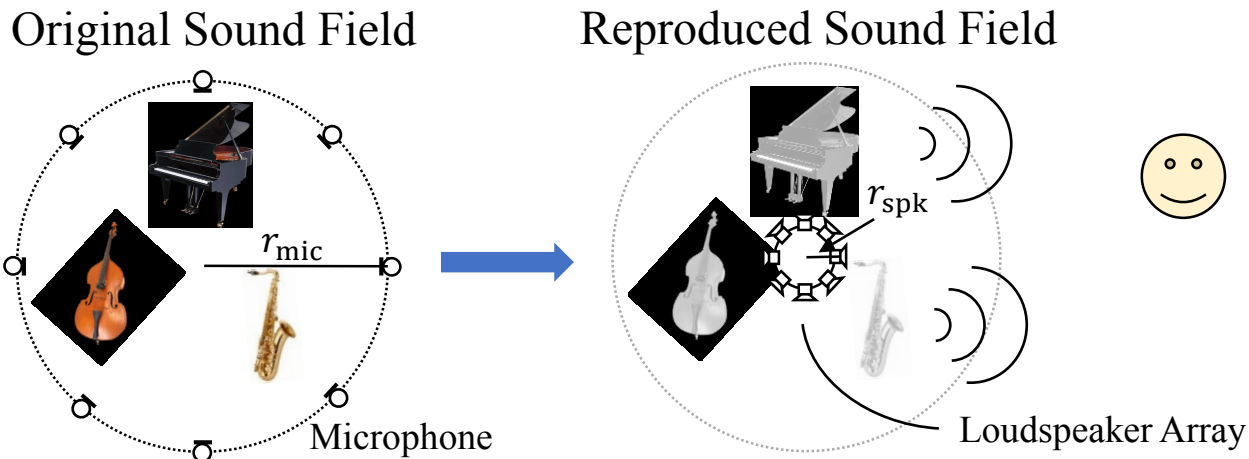
- 大きい音像 ⇔ スピーカ外側の音源



# 従来手法

- 円形スピーカアレイの外側への仮想音源生成

- 半径 $r_{mic}$ の円形マイクロホンアレイで收音
- 半径 $r_{spk}$ の円形スピーカアレイで再生
  - $r_{mic} > r_{spk}$
- 受聴領域はマイクロホンアレイの外側
- 音源をスピーカアレイの外側に出すことを目標とする



# 課題

- 再現可能なスピーカからの音源距離が短い，帯域が狭い
  - 再現可能な最大音源距離 $r_s$ ，最大周波数 $f$ とスピーカ数 $L$ の関係

$$\frac{L-1}{2} > \frac{2\pi f r_s}{c}$$

- フィルタゲインが大きい

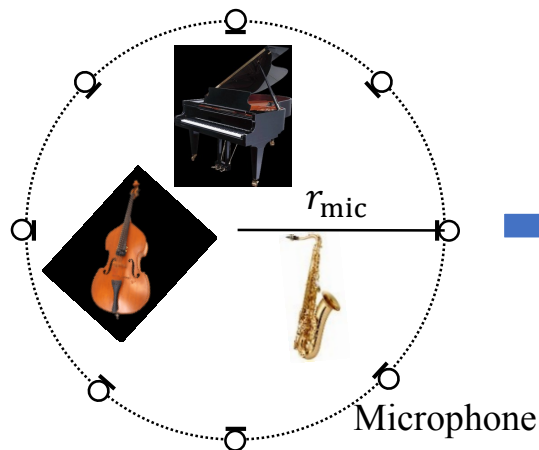
$$\text{Filter Gain [dB]} = 10 \log_{10} \frac{\sum_{l=1}^L |d_l|^2}{L |P(r_s, \phi_s)|^2}$$

- 0 dB以上の場合，再生音が歪みやすい

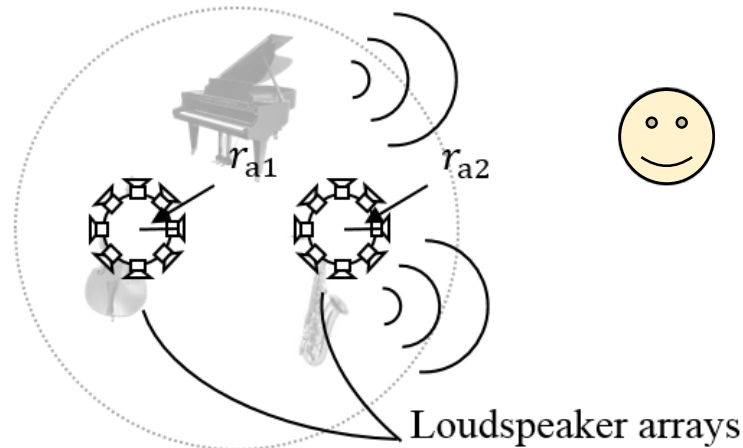
# 提案手法

- 2つのスピーカアレイを用いて再生を行う
- 半径 $r_{a1}$ のスピーカアレイIと半径 $r_{a2}$ のスピーカアレイIIをマイクロホンアレイの内側に配置
  - $r_{mic} > r_{a1}$ ,  $r_{mic} > r_{a2}$

Original Sound Field



Reproduced Sound Field



# Pressure Matching

原音場で線音源の音圧を観測する（水平面だけを考える場合）

$$P(r, \phi, \omega) = -\frac{j}{4} H_0^{(2)}(k|r - r_s|)$$

再生音場でスピーカから再生した音を観測

$$\hat{P}(r, \phi, \omega) = \sum_{l=1}^L G(r, \phi | r_l, \phi_l, \omega) d(r_l, \phi_l, \omega)$$

行列で書くと

$$\hat{\mathbf{P}} = \mathbf{G}\mathbf{d}$$

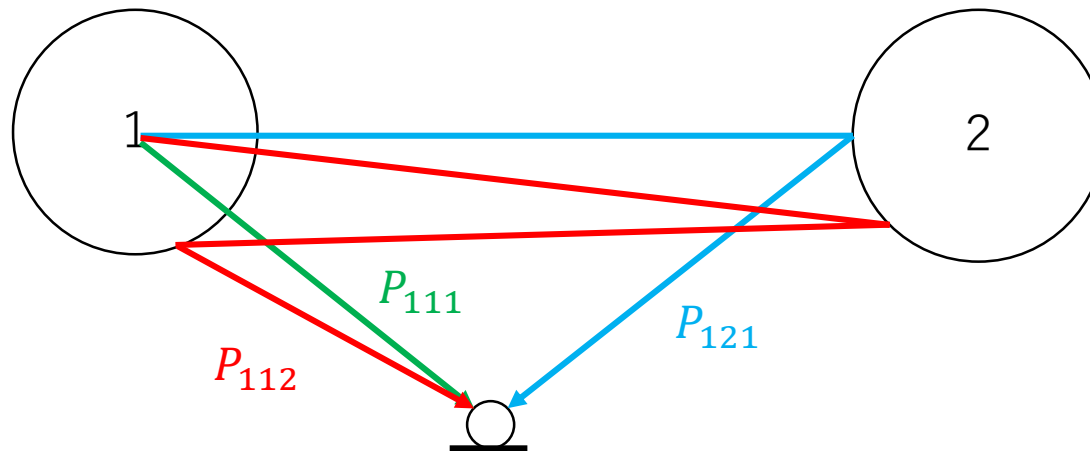
最小二乗法で音圧を一致させ、 $\mathbf{G}$ の逆行列は不安定となることが多いため、Tikhonov正則化を用いて駆動信号を求める

$$\mathbf{d} = (\mathbf{G}^H \mathbf{G} + \lambda \mathbf{I})^{-1} \mathbf{G}^H \hat{\mathbf{P}}$$

観測点の座標 $(r, \phi)$ ，原点から音源の距離 $r_s$ ，0次第二種ハンケル関数 $H_0^{(2)}$ ，駆動信号 $d$ ，スピーカ数 $L$ ， $l$ 個目スピーカの座標 $(r_l, \phi_l)$ ，スピーカと観測点の間の伝達関数 $G(r, \phi | r_l, \phi_l, \omega)$ ，周波数 $\omega$ ，波数 $k$ ，正則化パラメータ $\lambda$

# 2つの円形スピーカアレイ

- 伝達関数  $G$ 
  - スピーカアレイは剛円仮定
  - 1つの剛円の場合、伝達関数は既に提案された
  - 2つの剛円の場合、剛円の間での反射があるため、改めて伝達関数を導出する必要がある



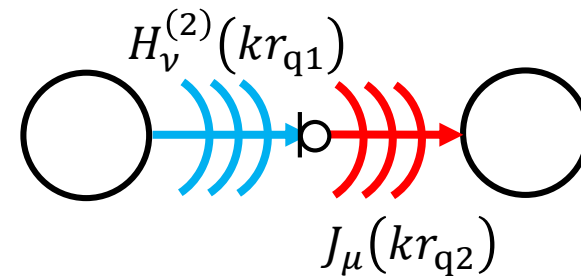


# 二円間の反射

剛円 1 からの放射波  $P_{1s}$  は剛円 2 の入射波  $P_{2i}$  になり ( $\nu, \mu$  は次数である)

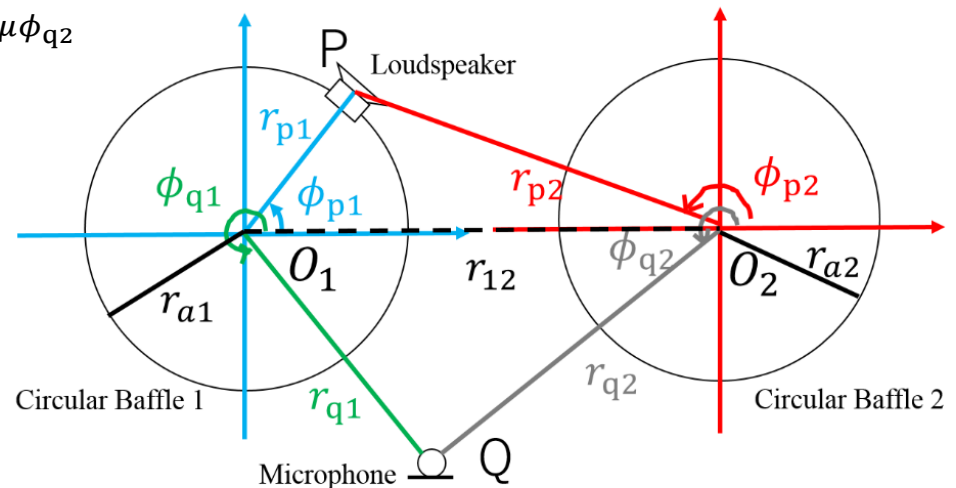
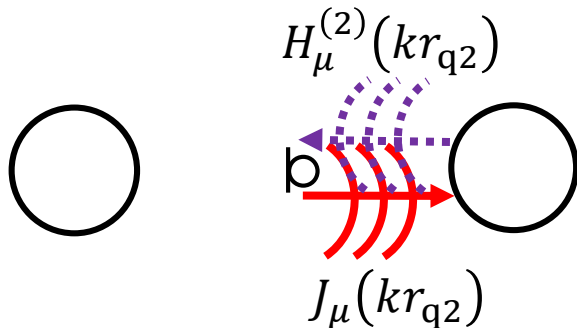
$$P_{1s}(r_{q1}, \phi_{q1}) = \sum_{\nu=-\infty}^{\infty} \gamma_{\nu,1} H_{\nu}^{(2)}(kr_{q1}) e^{j\nu\phi_{q1}}$$

$$P_{2i}(r_{q2}, \phi_{q2}) = \sum_{\mu=-\infty}^{\infty} \alpha_{\mu,2} J_{\mu}(kr_{q2}) e^{j\mu\phi_{q2}}$$



この入射波は剛円 2 の表面で反射され、剛円 2 からの放射波  $P_{2s}$  になる

$$P_{2s}(r_{q2}, \phi_{q2}) = \sum_{\mu=-\infty}^{\infty} \beta_{\mu,2} H_{\mu}^{(2)}(kr_{q2}) e^{j\mu\phi_{q2}}$$



# 二円間の反射

Grafの加法定理とベッセル関数の性質より

$$H_{\nu}^{(2)}(kr_{q1})e^{j\nu\phi_{q1}} = \sum_{\mu=-\infty}^{\infty} H_{\nu-\mu}^{(2)}(kr_{12})J_{\mu}(kr_{q2})e^{j\mu\phi_{q2}}$$

$$\alpha_{\mu,2} = \sum_{\nu=-\infty}^{\infty} H_{\nu-\mu}^{(2)}(kr_{12})\gamma_{\nu,1}$$

剛円 2 の表面上では，法線方向の音圧傾度が0になるため

$$\beta_{\mu,2} = -\frac{J'_{\mu}(kr_{a2})}{H_{\mu}^{(2)'}(kr_{a2})}\alpha_{\mu,2}$$

整理すると

$$\beta_{\mu,2} = -\frac{J'_{\mu}(kr_{a2})}{H_{\mu}^{(2)'}(kr_{a2})} \sum_{\nu=-\infty}^{\infty} H_{\nu-\mu}^{(2)}(kr_{12})\gamma_{\nu,1}$$

同様に，剛円 2 からの放射波は剛円 1 の入射波になり，剛円 1 の表面で反射され，反射波は求められる。ただし，座標系定義の関係で，変換式が異なる

スピーカからマイクの直接音と全部の反射音を足し合わせば，伝達関数は導出可能

# 伝達関数

剛円1にある音源の直接音

$$P_{111} = \sum_{\nu=-\infty}^{\infty} -\frac{e^{-j\nu\phi_{p1}}}{2\pi k r_{a1} H_{\nu}^{(2)'}(k r_{a1})} H_{\nu}^{(2)}(k r_{q1}) e^{j\nu\phi_{q1}},$$

1次反射音

$$P_{121} = \sum_{\mu=-\infty}^{\infty} \sum_{\nu=-\infty}^{\infty} H_{\nu-\mu}^{(2)}(k r_{12}) \frac{J'_{\mu}(k r_{a2})}{H_{\mu}^{(2)'}(k r_{a2})} \frac{e^{-j\nu\phi_{p1}}}{2\pi k r_{a1} H_{\nu}^{(2)'}(k r_{a1})} H_{\mu}^{(2)}(k r_{q2}) e^{j\mu\phi_{q2}}$$

2次反射音

$$P_{112} = \sum_{\kappa=-\infty}^{\infty} \sum_{\mu=-\infty}^{\infty} -H_{\kappa-\mu}^{(2)}(k r_{12}) \frac{J'_{\kappa}(k r_{a1})}{H_{\kappa}^{(2)'}(k r_{a1})} \sum_{\nu=-\infty}^{\infty} H_{\nu-\mu}^{(2)}(k r_{12}) \frac{J'_{\mu}(k r_{a2})}{H_{\mu}^{(2)'}(k r_{a2})} \frac{e^{-j\nu\phi_{p1}}}{2\pi k r_{a1} H_{\nu}^{(2)'}(k r_{a1})} H_{\kappa}^{(2)}(k r_{q1}) e^{j\kappa\phi_{q1}}$$

この式は畳み込み演算の形であり，最大次数 $N$ で打ち切って，行列化することができる

剛円1にある音源の音場（伝達関数）は

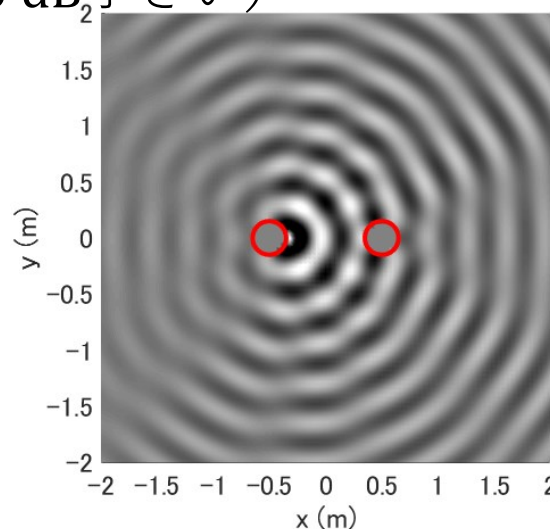
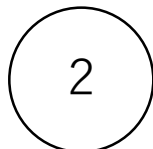
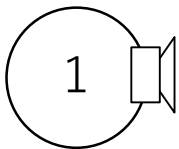
$$G_1 = P_{111} + P_{121} + P_{112} + P_{122} + \dots$$

剛円2にある音源の音場（伝達関数）は

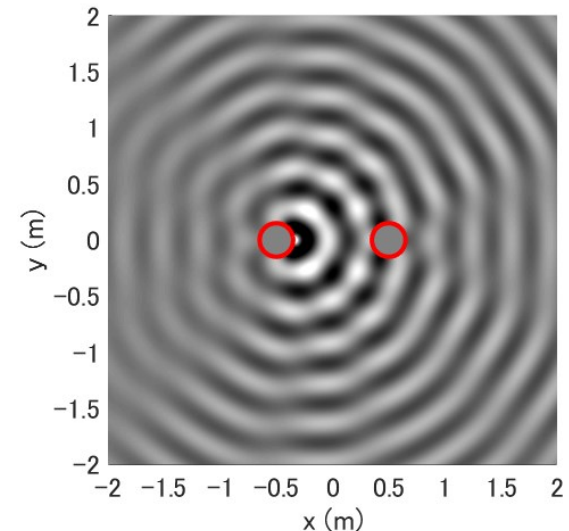
$$G_2 = P_{221} + P_{211} + P_{222} + P_{212} + \dots$$

# 伝達関数シミュレーション

- 伝達関数の妥当性を確認するため、FDTD法（時間領域差分法）と比較した
  - スピーカアレイの中心は $(-0.5 \text{ m}, 0 \text{ m})$ と $(0.5 \text{ m}, 0 \text{ m})$ ,  $r_{a1} = r_{a2} = 0.15 \text{ m}$ ,  $(-0.35 \text{ m}, 0 \text{ m})$ に音源を配置し, 1000 Hz正弦波で駆動したときの波面
  - 赤線は剛円の位置を示す
  - 最大次数 $N = 8$  ( $N = 20$ との誤差 $-60 \text{ dB}$ 以内), 最大反射回数6 (直接音より $-60 \text{ dB}$ 小さい)



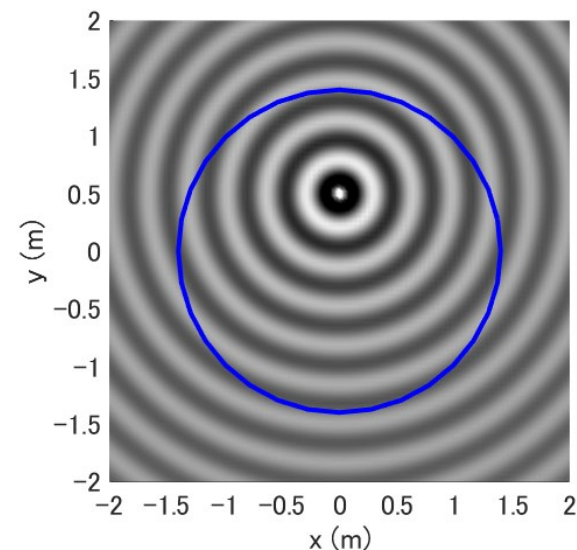
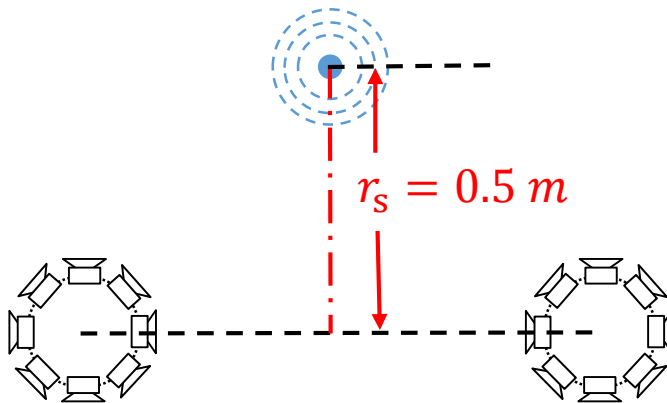
提案法



FDTD法

# 音場再現シミュレーション

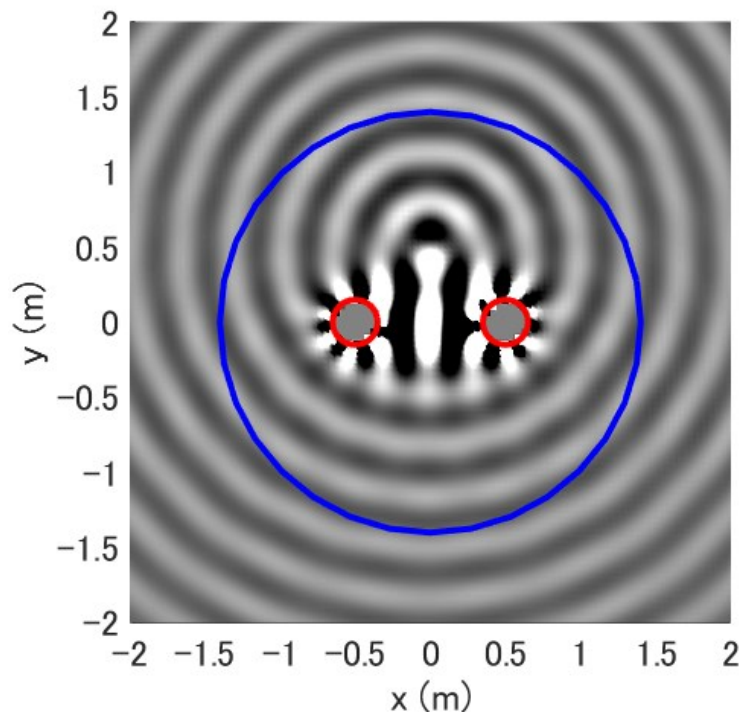
- (0 m, 0.5 m)に1000 Hzの線音源を配置したときの波面
  - 制御点数48,  $r = 1.4$  m
  - 二円アレイの剛円配置は伝達関数シミュレーションと同じ, 一円アレイは同じ半径の剛円を中心に配置
  - 青線は制御点位置



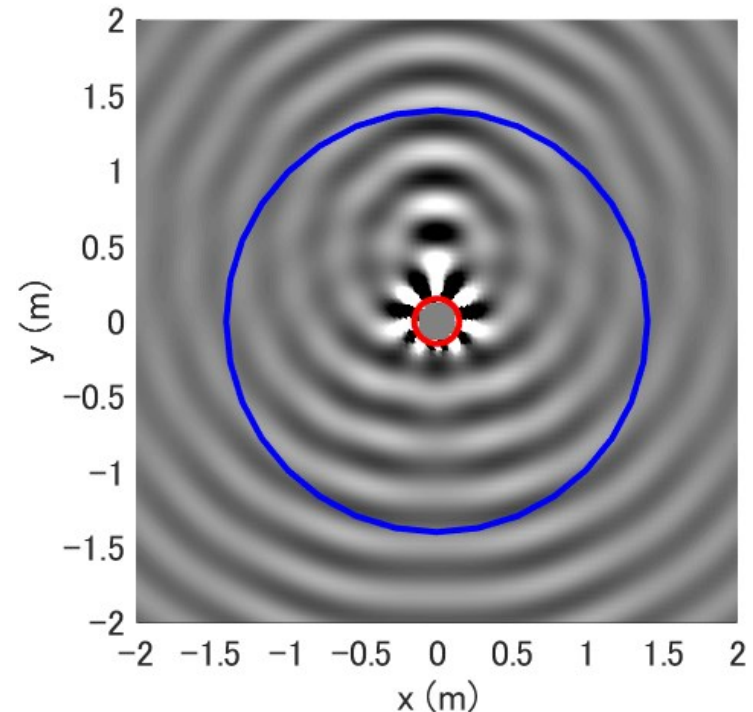
所望音場

# 音場再現シミュレーション

- 各アレイスピーカ数  $L = 15$
- 30 ch 単一円形アレイと比較
- 青線は制御点位置，赤線はスピーカ位置を示す



二円アレイ



一円アレイ

# 2つの円形スピーカアレイ

- SDR(Signal-to-distortion ratio)

$$\text{SDR [dB]} = 10 \log_{10} \frac{\sum |P|^2}{\sum |P - \hat{P}|^2}$$

- 音場再現の精度を示す
- 今回では15 dBを基準とする

Filter Gain = 0 dB

Single：一円モデル (30 ch)

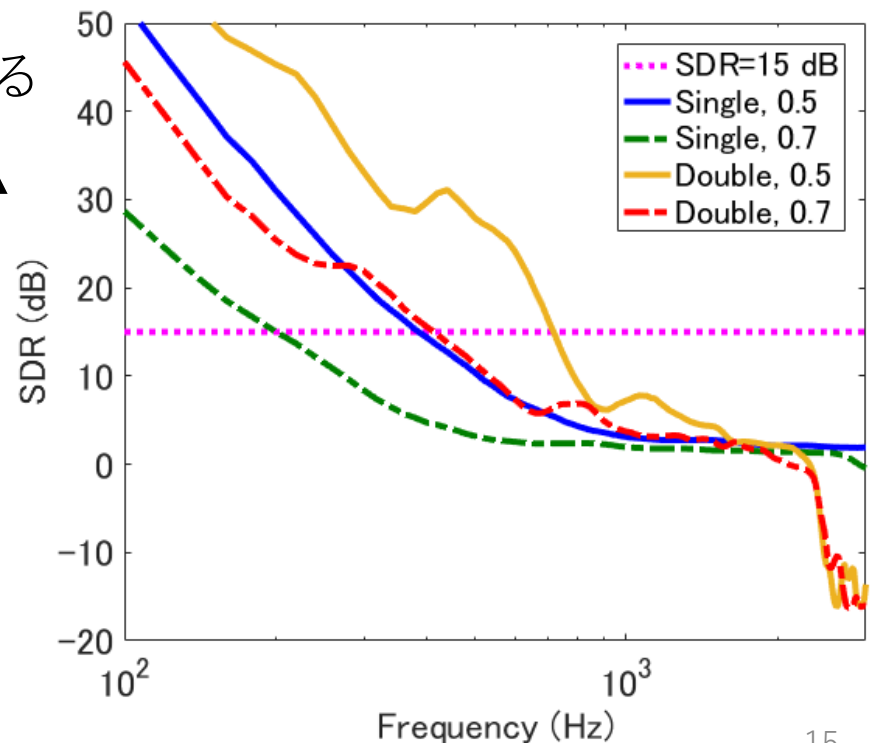
Double：二円モデル (15 ch × 2)

0.5：音源距離 $r_s = 0.5$  m

0.7：音源距離 $r_s = 0.7$  m

紫点線：SDR = 15 dB

良い ↑



# まとめと今後

- 2つの円形スピーカアレイを用いる仮想音源再現の手法を提案した
  - 2つの剛円の伝達関数を提案した；FDTD法と比較し，妥当性を確認した
  - Pressure Matching法で音場を再現できた；一円アレイより良い結果得られた
- 今後の予定
  - 2つ剛円形スピーカアレイのMode Matching法を検討
  - パラメータの決定法を検討
  - 実機を作成し，実験を行う



# 補足

- 二次元音場
  - 無指向性音源：三次元内では無限長線音源
  - 剛円形：三次元内では無限長剛円筒

- 線音源(Line Source)があるときの音場

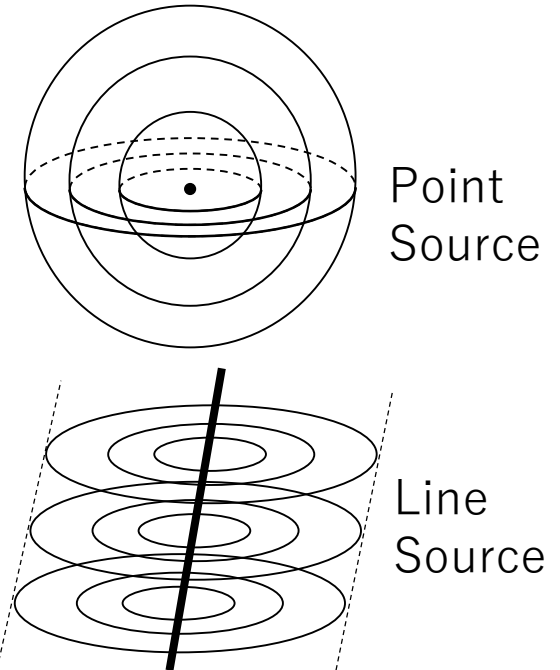
$$P(r, \phi, k, t) = e^{j\omega t} H_0^{(2)}(k|\mathbf{r} - \mathbf{r}_s|)$$

- 内部音場 ( $r < r_0$  の領域内音源がない)

$$P_i(r, \phi, k) = \sum_{\nu=-\infty}^{\infty} J_{\nu}(kr) \alpha_{\nu}(k) e^{j\nu\phi}$$

- 外部音場 ( $r > r_0$  の領域内音源がない)

$$P_s(r, \phi, k) = \sum_{\nu=-\infty}^{\infty} H_{\nu}^{(2)}(kr) \beta_{\nu}(k) e^{j\nu\phi}$$



観測点位置  $\mathbf{r} = (r, \phi)$ , 波数  $k$ ,  $\nu$  次第一種ベッセル関数  $J_{\nu}(\cdot)$ , 内部音場展開係数  $A_{\nu}$ , 外部音場展開係数  $B_{\nu}$ ,  $\nu$  次第二種ハンケル関数  $H_{\nu}^{(2)}(\cdot)$ ,  $j = \sqrt{-1}$ , 角周波数  $\omega$ , 時間  $t$ , 線音源位置  $\mathbf{r}_s$

# 補足

- 剛円の伝達関数  
直接音

$$P_i(r, \phi, k) = \sum_{\nu=-\infty}^{\infty} J_{\nu}(kr) \alpha_{\nu}(k) e^{j\nu\phi}$$

剛円の反射音

$$P_s(r, \phi, k) = \sum_{\nu=-\infty}^{\infty} H_{\nu}^{(2)}(kr) \beta_{\nu}(k) e^{j\nu\phi}$$

剛円の表面上( $r = r_0$ )音圧傾度は0になるので

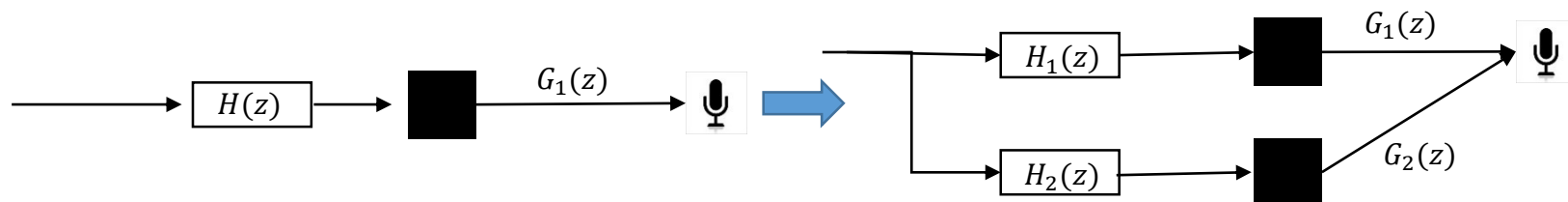
$$\beta_{\nu} = -\frac{J'_{\nu}(kr_0)}{H_{\nu}^{(2)'}(kr_0)} \alpha_{\nu}$$

Wronski行列式により, 伝達関数

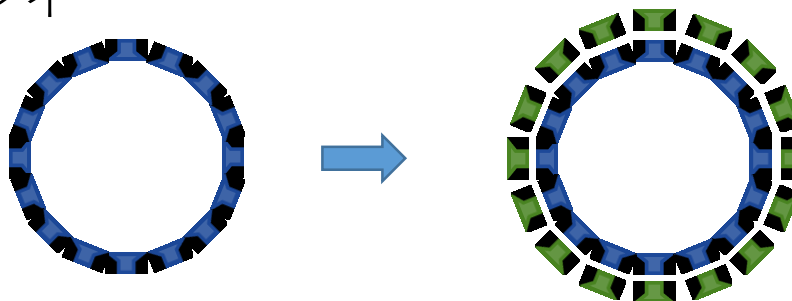
$$G^{\text{rigid}}(r, \phi | r_0, \phi_0) = P_i(r, \phi) + P_s(r, \phi) = \sum_{\nu=-\infty}^{\infty} -\frac{e^{-j\nu\phi_0}}{2\pi k r_0 H_{\nu}^{(2)'}(kr_0)} H_{\nu}^{(2)}(kr) e^{j\nu\phi}$$

# 補足

- 二円モデルについて
  - MINT (Multiple-input/output inverse-filtering theorem)



- 二重円形アレイ



- ステレオスピーカ

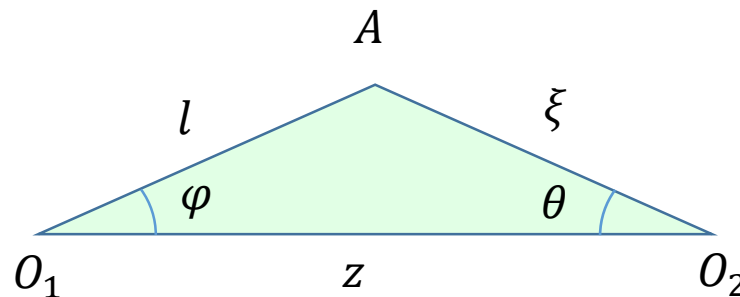


# Grafの加法定理

- $O_1$ を中心とした座標系で点 $A$ で観測された散乱波を $O_2$ を中心とした座標系の入射波に変換するとき

$$H_{\nu}^{(2)}\left(\sqrt{z^2 + \xi^2 - 2z\xi \cos \theta}\right) e^{j\nu\varphi} = \sum_{\mu} H_{\mu+\nu}^{(2)}(z) J_{\mu}(\xi) e^{j\mu\theta}$$

- $l = \sqrt{z^2 + \xi^2 - 2z\xi \cos \theta}$
- $|\xi| < |z|$
- $\xi$ と $z$ はさむ角が $\theta$ ,  $\xi$ に対する角が $\varphi$



# 伝達関数行列化

$$P_{111} = \boldsymbol{\psi}_1^T \boldsymbol{\gamma}_1, P_{121} = \boldsymbol{\psi}_2^T \mathbf{T}_2 \boldsymbol{\gamma}_1, P_{112} = \boldsymbol{\psi}_1^T \mathbf{T}_1 \mathbf{T}_2 \boldsymbol{\gamma}_1, P_{122} = \boldsymbol{\psi}_2^T \mathbf{T}_2 \mathbf{T}_1 \mathbf{T}_2 \boldsymbol{\gamma}_1, \dots$$

$$P_{221} = \boldsymbol{\psi}_2^T \boldsymbol{\gamma}_2, P_{211} = \boldsymbol{\psi}_1^T \mathbf{T}_1 \boldsymbol{\gamma}_2, P_{222} = \boldsymbol{\psi}_2^T \mathbf{T}_2 \mathbf{T}_1 \boldsymbol{\gamma}_2, P_{212} = \boldsymbol{\psi}_1^T \mathbf{T}_1 \mathbf{T}_2 \mathbf{T}_1 \boldsymbol{\gamma}_2, \dots$$

$$\boldsymbol{\gamma}_1 = (\gamma_{-N,1}, \gamma_{-N+1,1}, \dots, \gamma_{N,1})^T, \boldsymbol{\gamma}_2 = (\gamma_{-N,2}, \gamma_{-N+1,2}, \dots, \gamma_{N,2})^T$$

$$\boldsymbol{\psi}_1 = (\psi_{-N,1}, \psi_{-N+1,1}, \dots, \psi_{N,1})^T, \boldsymbol{\psi}_2 = (\psi_{-N,2}, \psi_{-N+1,2}, \dots, \psi_{N,2})^T$$

$$\mathbf{T}_1 = \begin{pmatrix} T_{-N,-N,1} & \cdots & T_{-N,N,1} \\ \vdots & \ddots & \vdots \\ T_{N,-N,1} & \cdots & T_{N,N,1} \end{pmatrix}, \quad \mathbf{T}_2 = \begin{pmatrix} T_{-N,-N,2} & \cdots & T_{-N,N,2} \\ \vdots & \ddots & \vdots \\ T_{N,-N,2} & \cdots & T_{N,N,2} \end{pmatrix}$$

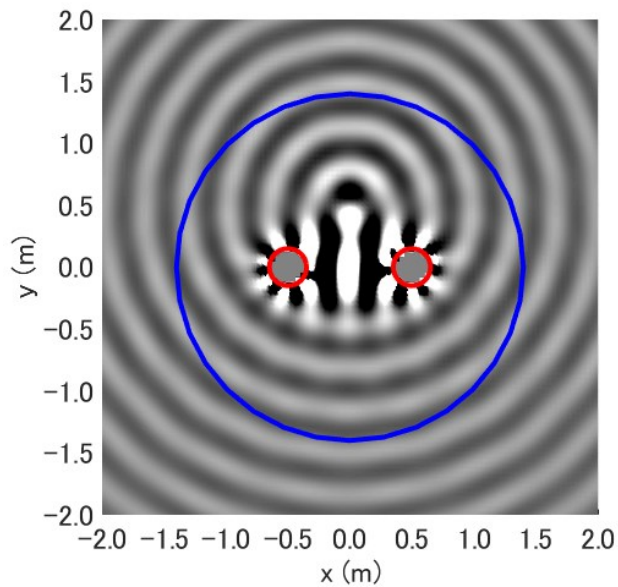
$$\gamma_{v,1} = -\frac{e^{-jv\phi_{p1}}}{2\pi k r_{a1} H_v^{(2)'}(kr_{a1})}, \quad \gamma_{v,2} = -\frac{e^{-jv\phi_{p2}}}{2\pi k r_{a2} H_v^{(2)'}(kr_{a2})},$$

$$\psi_{v,1} = H_v^{(2)}(kr_{q1}) e^{jv\phi_{q1}}, \quad \psi_{\mu,2} = H_\mu^{(2)}(kr_{q2}) e^{j\mu\phi_{q2}},$$

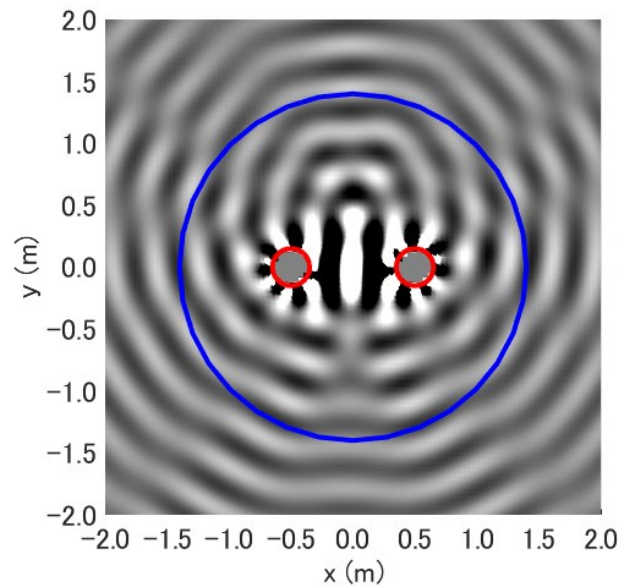
$$T_{\mu,\kappa,1} = -\frac{J'_\kappa(kr_{a1})}{H_\kappa^{(2)'}(kr_{a1})} H_{\kappa-\mu}^{(2)}(kr_{12}), \quad T_{v,\mu,2} = -\frac{J'_\mu(kr_{a2})}{H_\mu^{(2)'}(kr_{a2})} H_{v-\mu}^{(2)}(kr_{12})$$

# 反射の影響

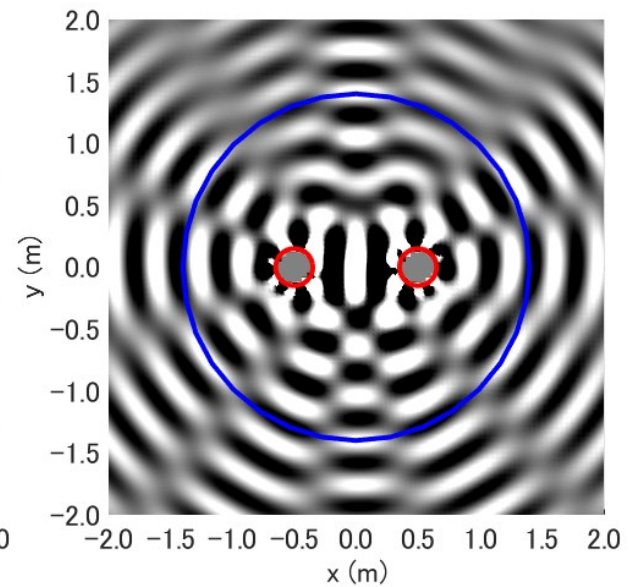
仮想音源再現における最大反射次数の影響  
シミュレーションは最大12次反射まで



12次反射



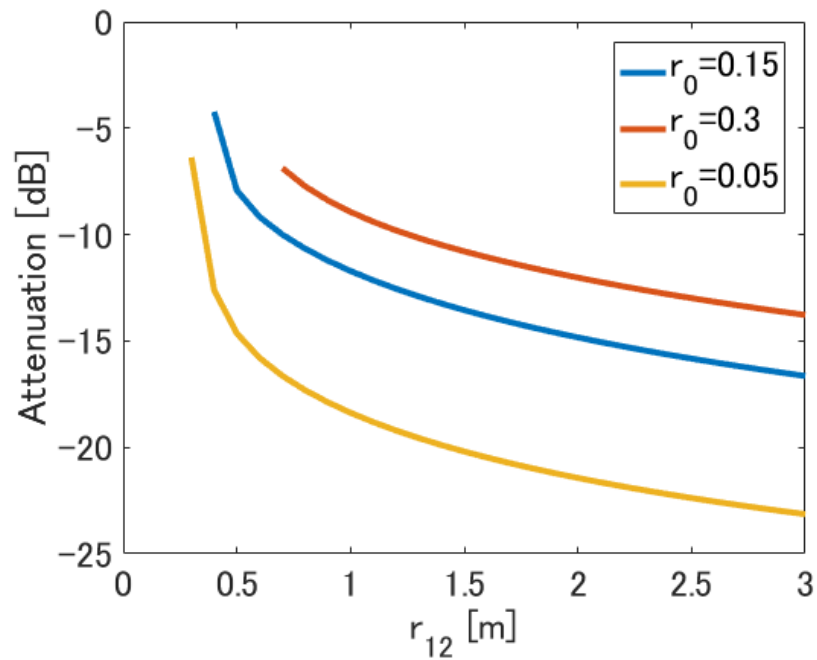
1次反射



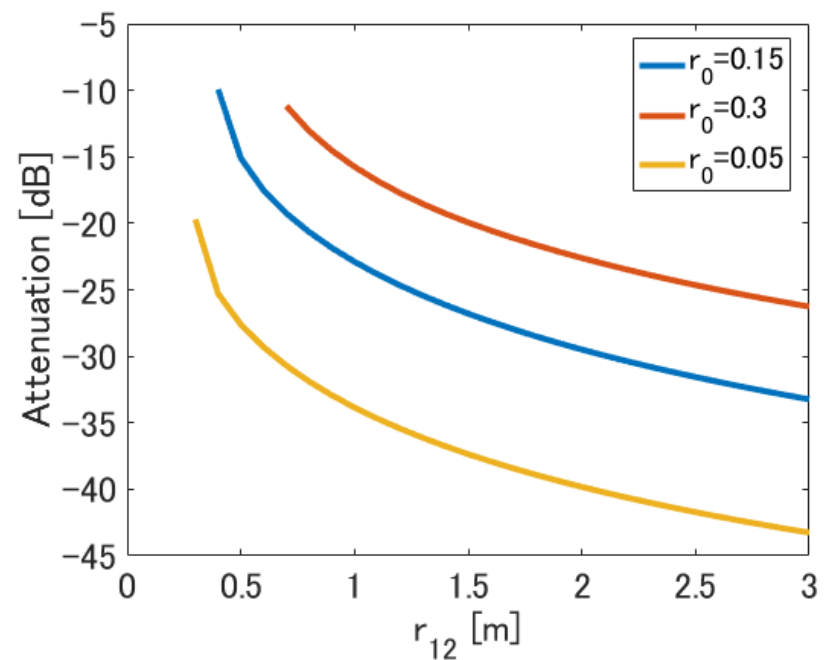
0次反射(剛円)

# 反射の影響

二円間距離による反射の減衰



1次反射の減衰



2次反射の減衰